



# Standard Rectifier Module

$V_{RRM} = 2 \times 800 \text{ V}$

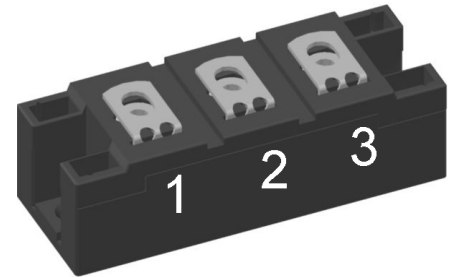
$I_{FAV} = 190 \text{ A}$

$V_F = 0.96 \text{ V}$

Phase leg

Part number

**MDD172-08N1**



Backside: isolated



### Features / Advantages:

- Package with DCB ceramic
- Improved temperature and power cycling
- Planar passivated chips
- Very low forward voltage drop
- Very low leakage current

### Applications:

- Diode for main rectification
- For single and three phase bridge configurations
- Supplies for DC power equipment
- Input rectifiers for PWM inverter
- Battery DC power supplies
- Field supply for DC motors

### Package: Y4

- Isolation Voltage: 3600 V~
- Industry standard outline
- RoHS compliant
- Soldering pins for PCB mounting
- Base plate: DCB ceramic
- Reduced weight
- Advanced power cycling

### Disclaimer Notice

Information furnished is believed to be accurate and reliable. However, users should independently evaluate the suitability of and test each product selected for their own applications. Littelfuse products are not designed for, and may not be used in, all applications. Read complete Disclaimer Notice at [www.littelfuse.com/disclaimer-electronics](http://www.littelfuse.com/disclaimer-electronics).



| Rectifier    |  |   |                         | Ratings |       |                   |  |
|--------------|--|---|-------------------------|---------|-------|-------------------|--|
| Symbol       | Definition                                   | Conditions  | min.                    | typ.    | max.  | Unit              |  |
| $V_{RSM}$    | max. non-repetitive reverse blocking voltage | $T_{VJ} = 25^{\circ}C$                              |                         |         | 900   | V                 |  |
| $V_{RRM}$    | max. repetitive reverse blocking voltage     | $T_{VJ} = 25^{\circ}C$                              |                         |         | 800   | V                 |  |
| $I_R$        | reverse current                              | $V_R = 800 V$                                       | $T_{VJ} = 25^{\circ}C$  |         | 1     | mA                |  |
|              |  | $V_R = 800 V$                                       | $T_{VJ} = 150^{\circ}C$ |         | 20    | mA                |  |
| $V_F$        | forward voltage drop                         | $I_F = 150 A$                                       | $T_{VJ} = 25^{\circ}C$  |         | 1.07  | V                 |  |
|              |  | $I_F = 300 A$                                       |                         |         | 1.22  | V                 |  |
|              |  | $I_F = 150 A$                                       | $T_{VJ} = 125^{\circ}C$ |         | 0.96  | V                 |  |
|              |  | $I_F = 300 A$                                       |                         |         | 1.16  | V                 |  |
| $I_{FAV}$    | average forward current                      | $T_C = 100^{\circ}C$                                | $T_{VJ} = 150^{\circ}C$ |         | 190   | A                 |  |
| $I_{F(RMS)}$ | RMS forward current                          | 180° sine   |                         |         | 300   | A                 |  |
| $V_{F0}$     | threshold voltage                            | } for power loss calculation only                   | $T_{VJ} = 150^{\circ}C$ |         | 0.80  | V                 |  |
| $r_F$        | slope resistance                             |   |                         |         | 0.8   | mΩ                |  |
| $R_{thJC}$   | thermal resistance junction to case          |   |                         |         | 0.21  | K/W               |  |
| $R_{thCH}$   | thermal resistance case to heatsink          |   |                         | 0.08    |       | K/W               |  |
| $P_{tot}$    | total power dissipation                      |   | $T_C = 25^{\circ}C$     |         | 600   | W                 |  |
| $I_{FSM}$    | max. forward surge current                   | $t = 10 \text{ ms}; (50 \text{ Hz}), \text{ sine}$  | $T_{VJ} = 45^{\circ}C$  |         | 6.60  | kA                |  |
|              |  | $t = 8,3 \text{ ms}; (60 \text{ Hz}), \text{ sine}$ | $V_R = 0 V$             |         | 7.13  | kA                |  |
|              |  | $t = 10 \text{ ms}; (50 \text{ Hz}), \text{ sine}$  | $T_{VJ} = 150^{\circ}C$ |         | 5.61  | kA                |  |
|              |  | $t = 8,3 \text{ ms}; (60 \text{ Hz}), \text{ sine}$ | $V_R = 0 V$             |         | 6.06  | kA                |  |
| $I^2t$       | value for fusing                             | $t = 10 \text{ ms}; (50 \text{ Hz}), \text{ sine}$  | $T_{VJ} = 45^{\circ}C$  |         | 217.8 | kA <sup>2</sup> s |  |
|              |  | $t = 8,3 \text{ ms}; (60 \text{ Hz}), \text{ sine}$ | $V_R = 0 V$             |         | 211.5 | kA <sup>2</sup> s |  |
|              |  | $t = 10 \text{ ms}; (50 \text{ Hz}), \text{ sine}$  | $T_{VJ} = 150^{\circ}C$ |         | 157.4 | kA <sup>2</sup> s |  |
|              |  | $t = 8,3 \text{ ms}; (60 \text{ Hz}), \text{ sine}$ | $V_R = 0 V$             |         | 152.8 | kA <sup>2</sup> s |  |
| $C_J$        | junction capacitance                         | $V_R = 400 V; f = 1 \text{ MHz}$                    | $T_{VJ} = 25^{\circ}C$  |         | 238   | pF                |  |



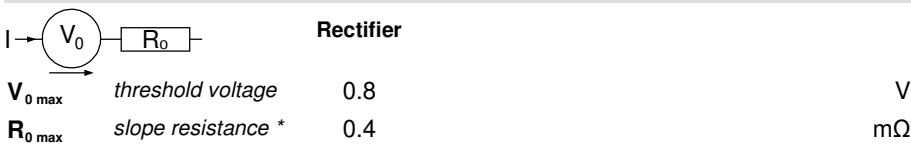
| Package Y4    |  |                      |                                     | Ratings |      |      |  |
|---------------|--|----------------------|-------------------------------------|---------|------|------|--|
| Symbol        | Definition   | Conditions           | min.                                | typ.    | max. | Unit |  |
| $I_{RMS}$     | RMS current  | per terminal         |                                     |         | 300  | A    |  |
| $T_{VJ}$      | virtual junction temperature                                 |                      | -40                                 |         | 150  | °C   |  |
| $T_{op}$      | operation temperature  |                      | -40                                 |         | 125  | °C   |  |
| $T_{stg}$     | storage temperature  |                      | -40                                 |         | 125  | °C   |  |
| <b>Weight</b> |  |                      |                                     |         | 150  | g    |  |
| $M_D$         | mounting torque  |                      | 2.25                                |         | 2.75 | Nm   |  |
| $M_T$         | terminal torque  |                      | 4.5                                 |         | 5.5  | Nm   |  |
| $d_{Spp/App}$ | creepage distance on surface   striking distance through air | terminal to terminal | 14.0                                | 10.0    |      | mm   |  |
| $d_{Spb/Apb}$ |  | terminal to backside | 16.0                                | 16.0    |      | mm   |  |
| $V_{ISOL}$    | isolation voltage  | t = 1 second         |                                     |         | 3600 | V    |  |
|               |  | t = 1 minute         | 50/60 Hz, RMS; $I_{ISOL} \leq 1$ mA |         | 3000 | V    |  |



Data Matrix: part no. (1-19), DC + PI (20-25), lot.no.# (26-31), blank (32), serial no.# (33-36)

| Ordering | Ordering Number | Marking on Product | Delivery Mode | Quantity | Code No. |
|----------|-----------------|--------------------|---------------|----------|----------|
| Standard | MDD172-08N1     | MDD172-08N1        | Box           | 6        | 429694   |

**Equivalent Circuits for Simulation** \* on die level  $T_{VJ} = 150^{\circ}C$

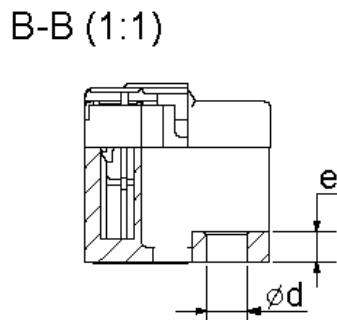




**Outlines Y4**



| Dim. | MIN [mm]  | MAX [mm] | MIN [inch] | MAX [inch] |
|------|-----------|----------|------------|------------|
| a    | 30.0      | 30.6     | 1.181      | 1.205      |
| b    | typ. 0.25 |          | typ. 0.010 |            |
| c    | 64.0      | 65.0     | 2.520      | 2.559      |
| d    | 6.5       | 7.0      | 0.256      | 0.275      |
| e    | 4.9       | 5.1      | 0.193      | 0.201      |
| h    | 93.5      | 94.5     | 3.681      | 3.720      |
| i    | 79.5      | 80.5     | 3.130      | 3.169      |
| k    | 33.4      | 34.0     | 1.315      | 1.339      |
| l    | 16.7      | 17.3     | 0.657      | 0.681      |
| m    | 22.7      | 23.3     | 0.894      | 0.917      |
| n    | 22.7      | 23.3     | 0.894      | 0.917      |
| o    | 14.0      | 15.0     | 0.551      | 0.591      |
| p    | typ. 10.5 |          | typ. 0.413 |            |



**Rectifier**

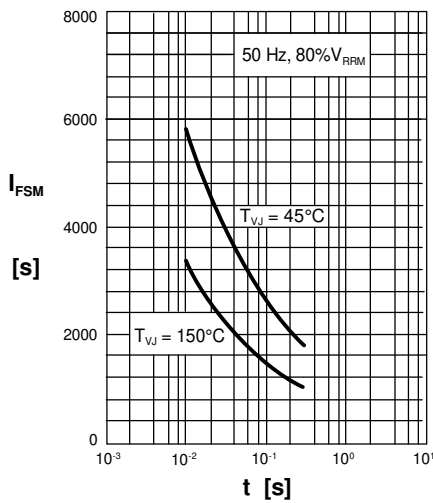


Fig. 1 Surge overload current  
 $I_{FSM}$ : Crest value, t: duration

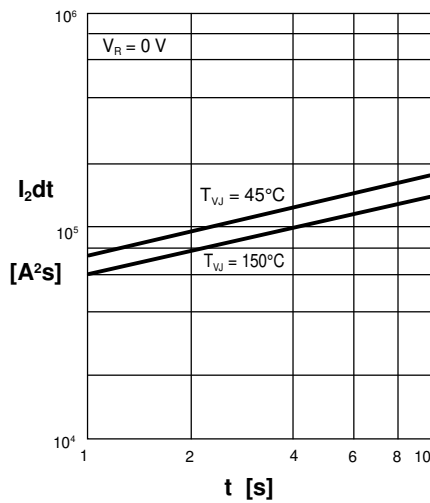


Fig. 2  $I_2dt$  versus time (1-10 ms)

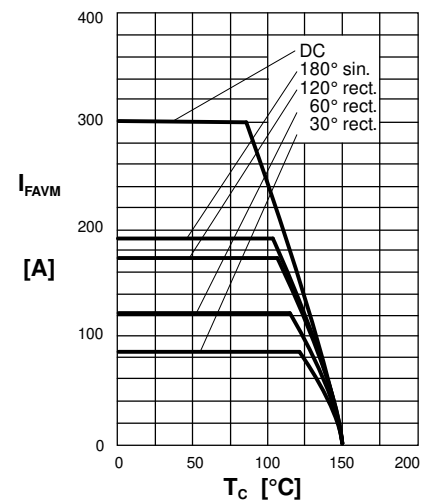


Fig. 2a Maximum forward current at case temperature

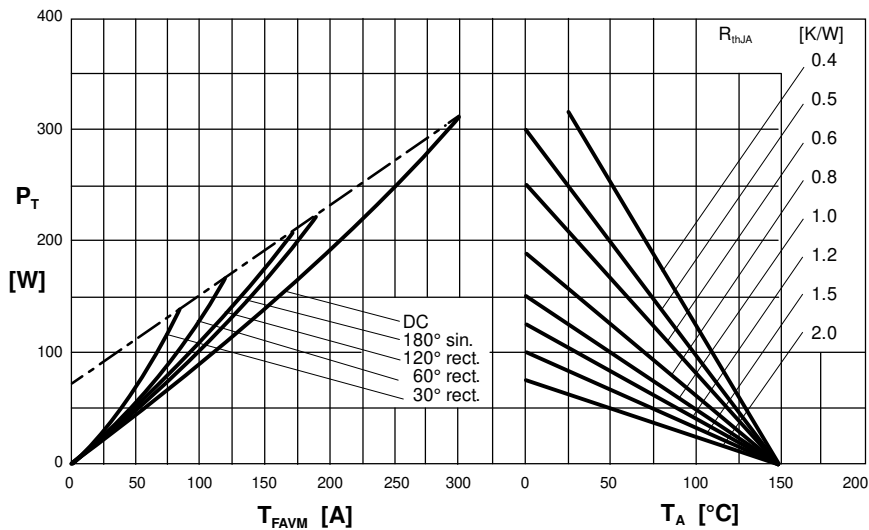


Fig. 3 Power dissipation vs. forward current and ambient temperature (per diode)

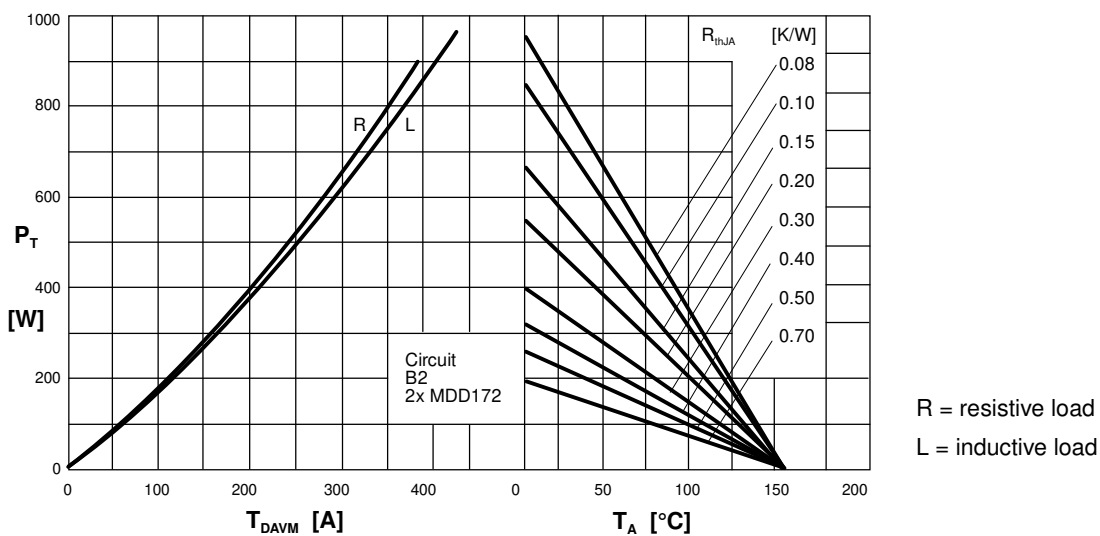


Fig. 4 Single phase rectifier bridge: Power dissipation vs. direct output current and ambient



**Rectifier**



Fig. 5 Three phase rectifier bridge: Power dissipation vs. direct output current and ambient temperature

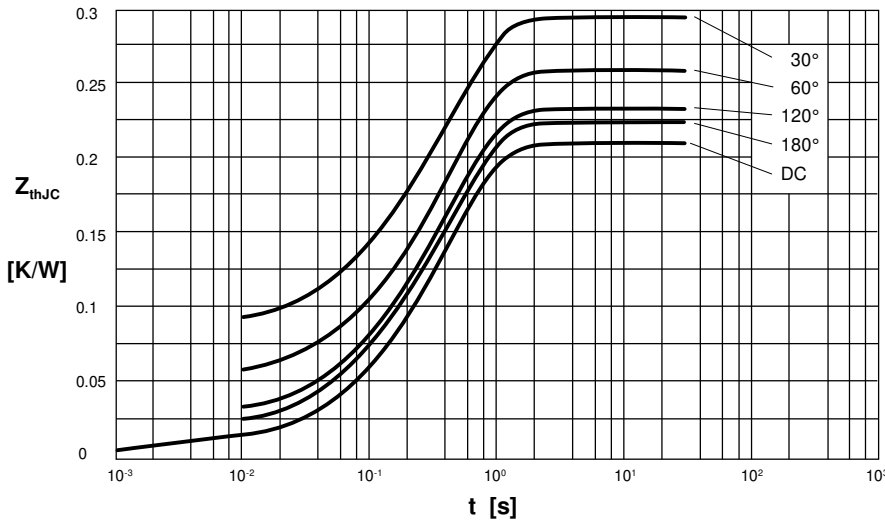


Fig. 6 Transient thermal impedance junction to case (per diode)

$R_{thJC}$  for various conduction angles  $d$ :

| $d$  | $R_{thJC}$ [K/W] |
|------|------------------|
| DC   | 0.210            |
| 180° | 0.223            |
| 120° | 0.233            |
| 60°  | 0.260            |
| 30°  | 0.295            |

Constants for  $Z_{thJC}$  calculation:

| $i$ | $R_{thi}$ [K/W] | $t_i$ [s] |
|-----|-----------------|-----------|
| 1   | 0.0087          | 0.001     |
| 2   | 0.0163          | 0.065     |
| 3   | 0.1850          | 0.400     |



Fig. 7 Transient thermal impedance junction to heatsink (per diode)

$R_{thJK}$  for various conduction angles  $d$ :

| $d$  | $R_{thJK}$ [K/W] |
|------|------------------|
| DC   | 0.310            |
| 180° | 0.323            |
| 120° | 0.333            |
| 60°  | 0.360            |
| 30°  | 0.395            |

Constants for  $Z_{thJK}$  calculation:

| $i$ | $R_{thi}$ [K/W] | $t_i$ [s] |
|-----|-----------------|-----------|
| 1   | 0.0087          | 0.001     |
| 2   | 0.0163          | 0.065     |
| 3   | 0.1850          | 0.400     |
| 4   | 0.1000          | 1.290     |

Компания «Океан Электроники» предлагает заключение долгосрочных отношений при поставках импортных электронных компонентов на взаимовыгодных условиях!

Наши преимущества:

- Поставка оригинальных импортных электронных компонентов напрямую с производств Америки, Европы и Азии, а так же с крупнейших складов мира;
- Широкая линейка поставок активных и пассивных импортных электронных компонентов (более 30 млн. наименований);
- Поставка сложных, дефицитных, либо снятых с производства позиций;
- Оперативные сроки поставки под заказ (от 5 рабочих дней);
- Экспресс доставка в любую точку России;
- Помощь Конструкторского Отдела и консультации квалифицированных инженеров;
- Техническая поддержка проекта, помощь в подборе аналогов, поставка прототипов;
- Поставка электронных компонентов под контролем ВП;
- Система менеджмента качества сертифицирована по Международному стандарту ISO 9001;
- При необходимости вся продукция военного и аэрокосмического назначения проходит испытания и сертификацию в лаборатории (по согласованию с заказчиком);
- Поставка специализированных компонентов военного и аэрокосмического уровня качества (Xilinx, Altera, Analog Devices, Intersil, Interpoint, Microsemi, Actel, Aeroflex, Peregrine, VPT, Syfer, Eurofarad, Texas Instruments, MS Kennedy, Miteq, Cobham, E2V, MA-COM, Hittite, Mini-Circuits, General Dynamics и др.);

Компания «Океан Электроники» является официальным дистрибьютором и эксклюзивным представителем в России одного из крупнейших производителей разъемов военного и аэрокосмического назначения «JONHON», а так же официальным дистрибьютором и эксклюзивным представителем в России производителя высокотехнологичных и надежных решений для передачи СВЧ сигналов «FORSTAR».



## JONHON

«JONHON» (основан в 1970 г.)

Разъемы специального, военного и аэрокосмического назначения:

(Применяются в военной, авиационной, аэрокосмической, морской, железнодорожной, горно- и нефтедобывающей отраслях промышленности)

«FORSTAR» (основан в 1998 г.)

ВЧ соединители, коаксиальные кабели, кабельные сборки и микроволновые компоненты:

(Применяются в телекоммуникациях гражданского и специального назначения, в средствах связи, РЛС, а так же военной, авиационной и аэрокосмической отраслях промышленности).



Телефон: 8 (812) 309-75-97 (многоканальный)

Факс: 8 (812) 320-03-32

Электронная почта: [ocean@oceanchips.ru](mailto:ocean@oceanchips.ru)

Web: <http://oceanchips.ru/>

Адрес: 198099, г. Санкт-Петербург, ул. Калинина, д. 2, корп. 4, лит. А